

$N_f = 2 + 1$ 格子QCDによる軽い原子核の計算

山崎 剛



素粒子宇宙起源研究機構

名古屋大学

石川 健一, 藏増 嘉伸, 宇川 彰

Refs: PRD81:111504(R)(2010); PRD84:054506(2011); PRD86:074514(2012)

PoS(LATTICE 2013):230(2013)[arXiv:1310.5797]

HPCI 戦略プログラム分野5 「物質と宇宙の起源と構造」全体シンポジウム

©富士ソフトアキバプラザ, 3月3-4日

目次

1. イントロダクション
2. 少数核子系束縛状態計算の問題点
3. これまでの結果
4. $N_f = 2 + 1$ $m_\pi = 0.3$ GeV 計算中間報告
5. まとめ・将来計画

1. イントロダクション

強い相互作用

束縛 $\left\{ \begin{array}{ll} \text{陽子・中性子} & \rightarrow \text{原子核} \\ \text{クォーク・グルーオン} & \rightarrow \text{陽子・中性子} \end{array} \right.$

強い相互作用の第一原理 QCD

クォーク・グルーオンの自由度

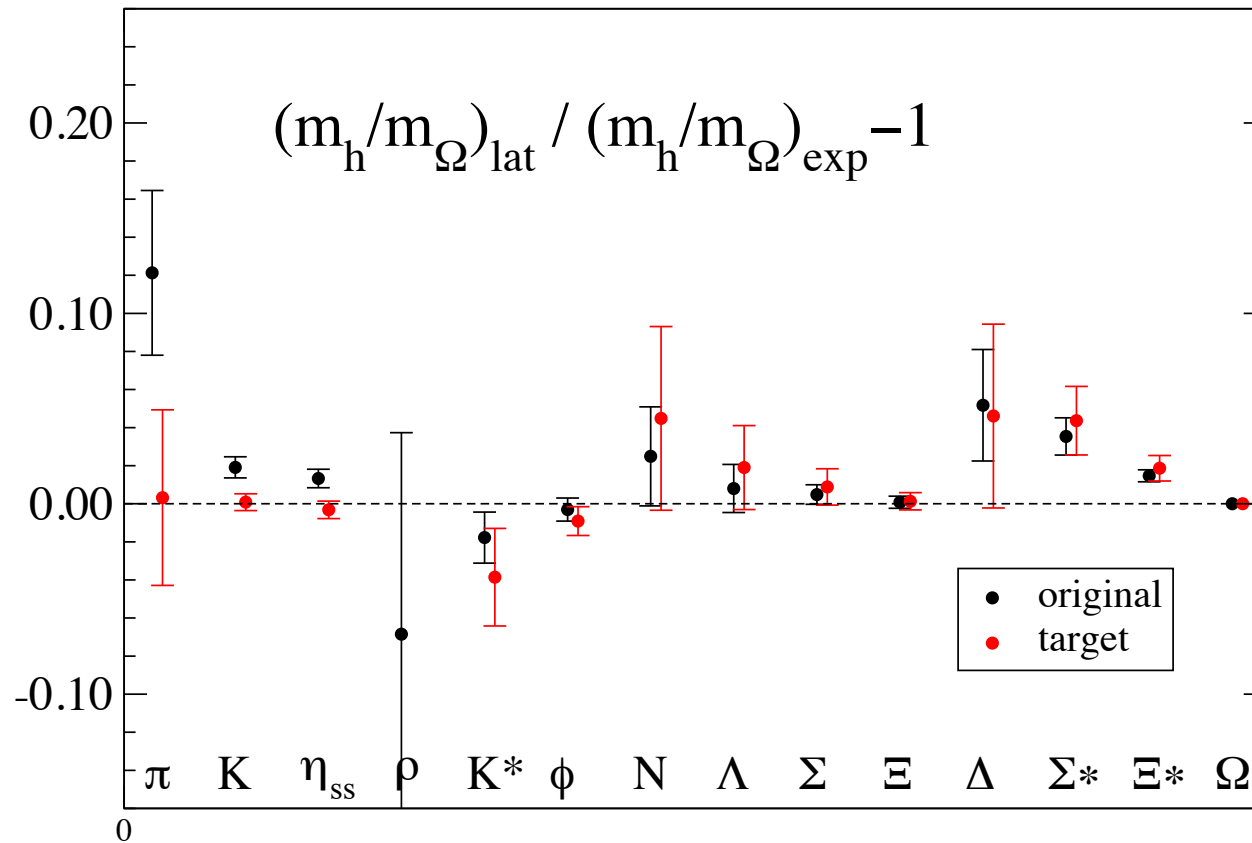
QCD の非摂動的計算: 格子 QCD \rightarrow 陽子・中性子 (核子) の質量

クォーク・グルーオン \rightarrow 陽子・中性子
(格子)QCD

現実的クォーク質量での格子QCD結果

$N_f = 2 + 1 (m_u = m_d < m_s)$ 電磁相互作用効果無し '10 PACS-CS

現実のクォーク質量: $m_\pi = 135$ MeV (target)



実験値と数%以内で一致

1. イントロダクション

強い相互作用

束縛 $\left\{ \begin{array}{l} \text{陽子・中性子} \rightarrow \text{原子核} \\ \text{クォーク・グルーオン} \rightarrow \text{陽子・中性子} \end{array} \right.$

強い相互作用の第一原理 QCD

クォーク・グルーオンの自由度

QCD の非摂動論的計算: 格子 QCD \rightarrow 陽子・中性子 (核子) の質量

クォーク・グルーオン \rightarrow $\overbrace{\text{陽子・中性子}}^{\text{殻模型}} \rightarrow \text{原子核}$
格子 QCD

1. イントロダクション

強い相互作用

束縛 $\left\{ \begin{array}{l} \text{陽子} \cdot \text{中性子} \rightarrow \text{原子核} \\ \text{クォーク} \cdot \text{グルーオン} \rightarrow \text{陽子} \cdot \text{中性子} \end{array} \right.$

強い相互作用の第一原理 QCD

クォーク・グルーオンの自由度

QCD の非摂動的計算: 格子 QCD \rightarrow 陽子・中性子 (核子) の質量

大きな目的: 原子核の性質をクォーク・グルーオンから定量的に理解する

クォーク・グルーオン \rightarrow $\overbrace{\text{陽子} \cdot \text{中性子}}^{\text{殻模型}} \rightarrow \text{原子核}$
格子 QCD

1. イントロダクション

大きな目的: 原子核の性質をクォーク・グルーオンから定量的に理解する

核力を QCD から求めるアプローチ [HALQCD] とは異なる

格子 QCD 分野では挑戦的な課題、しかし

1. 原子核質量の再現

2. 計算や観測の難しい原子核の性質の予言 例: 中性子過剰核

が将来可能になるかも

少数核子束縛状態の研究は最近始まったばかり

近年の目的

既知の軽い原子核の束縛エネルギーを再現できるか?

2. 少数核子系束縛状態計算の問題点

慣習的な ${}^4\text{He}$ 系計算

$$\langle 0 | O_{4\text{He}}(t) O_{4\text{He}}^\dagger(0) | 0 \rangle = \sum_n \langle 0 | O_{4\text{He}} | n \rangle \langle n | O_{4\text{He}}^\dagger | 0 \rangle e^{-E_n t} \xrightarrow{t \gg 1} A_0 e^{-E_0 t}$$

少数原子核計算の問題点

1. 統計誤差 $\propto \exp\left(N_N \left[m_N - \frac{3}{2}m_\pi\right] t\right)$

2. 膨大な計算コスト

クォーク縮約数 ${}^4\text{He} = p^2 n^2 = (udu)^2 (dud)^2: 518400$

c.f.) 陽子 = $p = udu: 2$

3. 有限体積上束縛状態判別

引力散乱状態の有限体積効果が束縛エネルギーに似ている

2. 少数核子系束縛状態計算の問題点

慣習的な ^4He 系計算

$$\langle 0|O_{4\text{He}}(t)O_{4\text{He}}^\dagger(0)|0\rangle = \sum_n \langle 0|O_{4\text{He}}|n\rangle \langle n|O_{4\text{He}}^\dagger|0\rangle e^{-E_n t} \xrightarrow{t \gg 1} A_0 e^{-E_0 t}$$

少数原子核計算の問題点

1. 統計誤差 $\propto \exp\left(N_N \left[m_N - \frac{3}{2}m_\pi\right] t\right)$

→ 現実よりも重いクォーク + 多くの測定

2. 膨大な計算コスト PACS-CS PRD81:111504(R)(2010)

クォーク縮約数 $^4\text{He} = p^2 n^2 = (udu)^2 (dud)^2: 518400 \rightarrow 1107$

→ コスト削減: 演算子の対称性 $p(n) \leftrightarrow p(n)$, 並列計算と非並列計算

より効率的な方法: '12 Doi and Endres; Detmold and Orginos; '13 Günther *et al.*

3. 有限体積上束縛状態判別

引力散乱状態の有限体積効果が束縛エネルギーに似ている

→ 次のページで説明

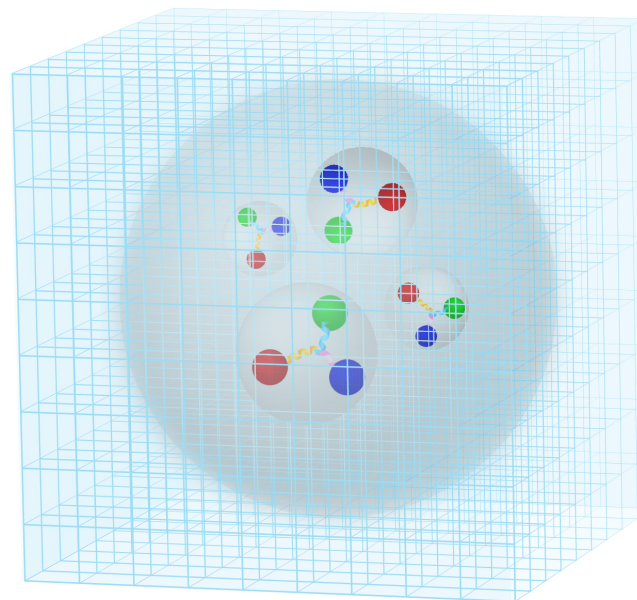
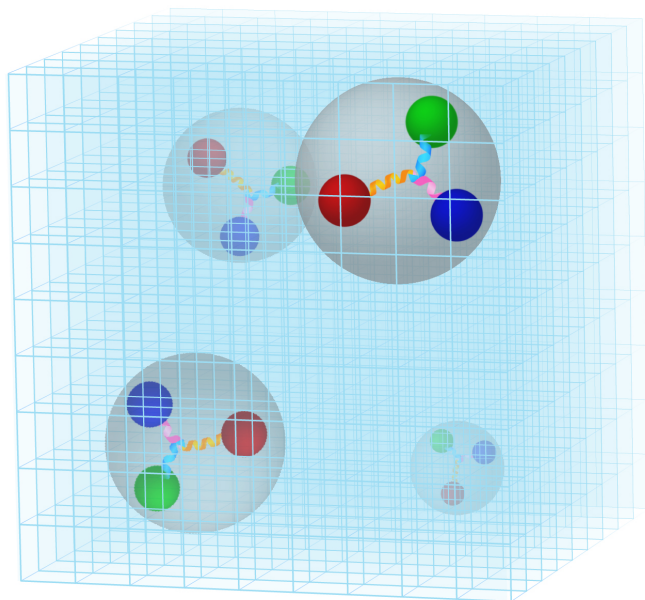
2. 少数核子系束縛状態計算の問題点

3. 有限体積上束縛状態判別

束縛エネルギーに似た引力散乱状態の有限体積効果 $\Delta E = E - N_N m_N < 0$

引力散乱状態

束縛状態



図提供：入江氏 (KEK)

$L \neq \infty$	$\Delta E = O(1/L^3) < 0$	$\Delta E < 0$
$L \rightarrow \infty$	$\Delta E \rightarrow 0$	$\Delta E < 0$

ΔE の有限体積依存性から束縛状態かを判別

他の方法: '04 Mathur *et al.*, '05 Ishii *et al.*

格子QCDを用いた少数核子束縛状態

- ${}^4\text{He}$, ${}^3\text{He}$

'10 PACS-CS $N_f = 0$ $m_\pi = 0.8$ GeV PRD81:111504(R)(2010)

'12 HALQCD $N_f = 3$, '12 NPLQCD

- Hダイバリオン ($\Lambda\Lambda$, $S=-2$, $I=0$)

'88 Iwasaki *et al.* $N_f = 0$ $m_\pi = 0.5-0.7$ GeV

'11 NPLQCD $N_f = 2 + 1$, '11, '12 HALQCD $N_f = 3$

'11 Luo *et al.* $N_f = 0$, '12 NPLQCD $N_f = 3$

- 二核子系

'11 PACS-CS $N_f = 0$ $m_\pi = 0.8$ GeV PRD84:054506(2011)

'12 NPLQCD $N_f = 2 + 1$, '12 NPLQCD $N_f = 3$

格子QCDを用いた少数核子束縛状態

- ${}^4\text{He}$, ${}^3\text{He}$

'10 PACS-CS $N_f = 0$ $m_\pi = 0.8$ GeV PRD81:111504(R)(2010)

'12 HALQCD $N_f = 3$, '12 NPLQCD

'12 TY *et al.* $N_f = 2 + 1$ $m_\pi = 0.5$ GeV PRD86:074514(2012)

- Hダイバリオン ($\Lambda\Lambda$, $S=-2$, $I=0$)

'88 Iwasaki *et al.* $N_f = 0$ $m_\pi = 0.5-0.7$ GeV

'11 NPLQCD $N_f = 2 + 1$, '11, '12 HALQCD $N_f = 3$

'11 Luo *et al.* $N_f = 0$, '12 NPLQCD $N_f = 3$

- 二核子系

'11 PACS-CS $N_f = 0$ $m_\pi = 0.8$ GeV PRD84:054506(2011)

'12 NPLQCD $N_f = 2 + 1$, '12 NPLQCD $N_f = 3$

'12 TY *et al.* $N_f = 2 + 1$ $m_\pi = 0.5$ GeV PRD86:074514(2012)

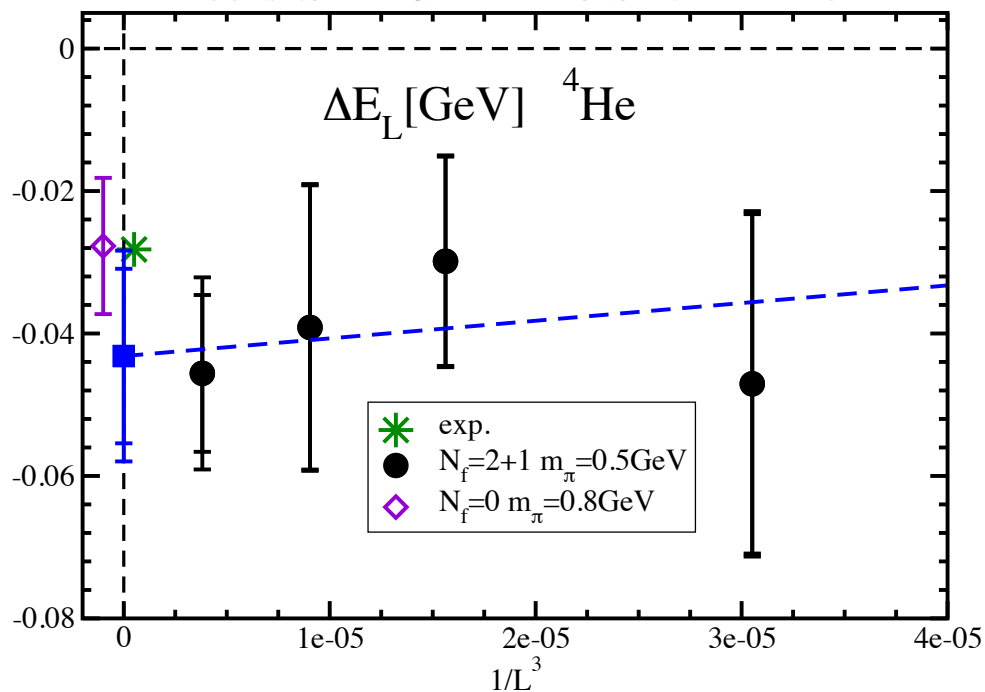
昨年度の目的: これまでの試験的研究をより信頼性のある計算へ発展させる

$N_f = 2 + 1$ QCD, 軽いクォーク, 小さな格子間隔

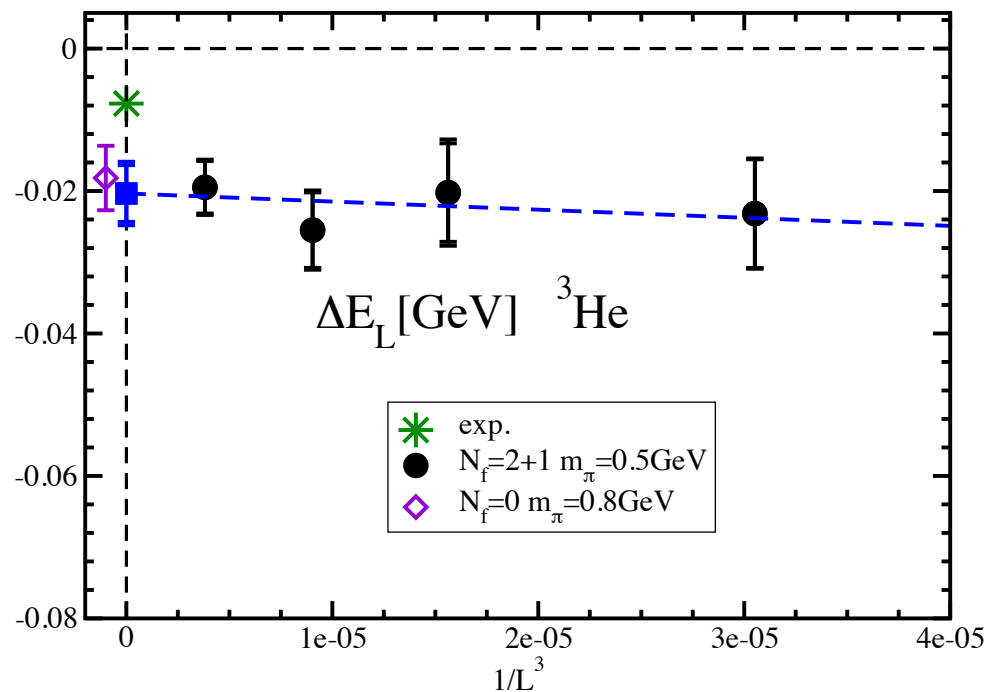
4. $N_f = 2 + 1$ $m_\pi = 0.5$ GeV

${}^4\text{He}, {}^3\text{He}$ 系 $\Delta E_L = E - N_N m_N$

ΔE の体積依存性から束縛状態の判別



$$\Delta E_{4\text{He}} = 43(12)(8) \text{ MeV}$$



$$\Delta E_{3\text{He}} = 20.3(4.0)(2.0) \text{ MeV}$$

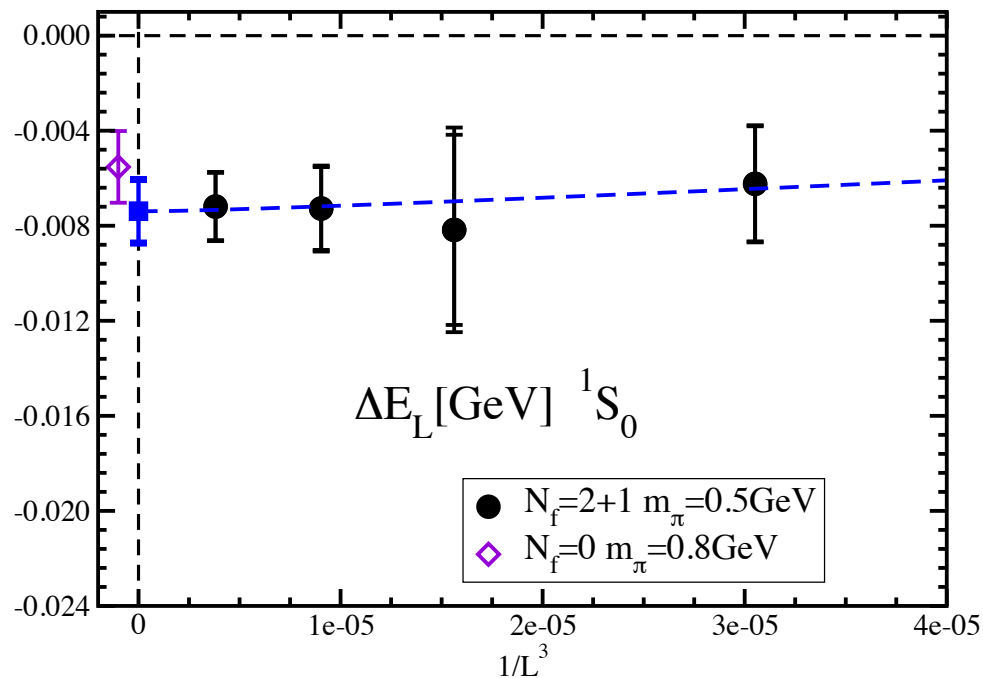
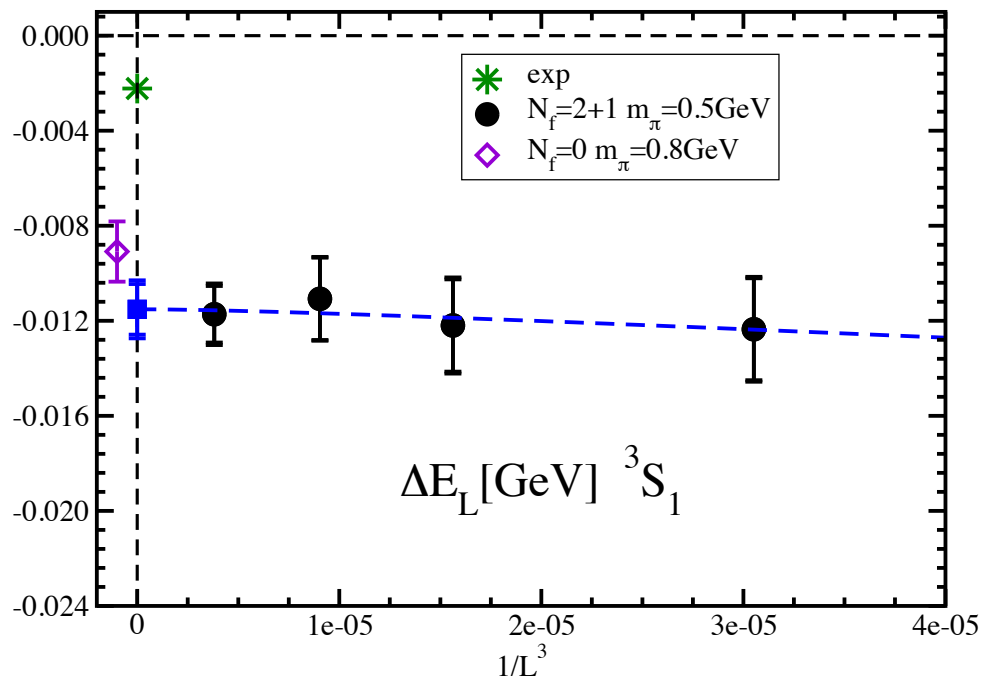
1. 二つの系で束縛状態を確認

2. 束縛エネルギーは実験値と同じオーダー

白抜きシンボル: $N_f = 0$ $m_\pi = 0.8$ GeV, PRD81:111504(R)(2010)

4. $N_f = 2 + 1$ $m_\pi = 0.5$ GeV
 二核子系 ($^3S_1, ^1S_0$) $\Delta E_L = E - 2m_N$

ΔE の体積依存性から束縛状態の判別



二つの系で束縛状態を確認

$$\Delta E_{3S_1} = 11.5(1.1)(0.6) \text{ MeV}$$

$$\Delta E_{1S_0} = 7.4(1.3)(0.6) \text{ MeV}$$

束縛エネルギーは実験値と同じオーダー

実験では観測されていない

白抜きシンボル: $N_f = 0$ $m_\pi = 0.8$ GeV, PRD81:111504(R)(2010)

格子QCDを用いた少数核子束縛状態

- ${}^4\text{He}$, ${}^3\text{He}$

'10 PACS-CS $N_f = 0$ $m_\pi = 0.8$ GeV PRD81:111504(R)(2010)

'12 TY *et al.* $N_f = 2 + 1$ $m_\pi = 0.5$ GeV PRD86:074514(2012)

- 二核子系

'11 PACS-CS $N_f = 0$ $m_\pi = 0.8$ GeV PRD84:054506(2011)

'12 TY *et al.* $N_f = 2 + 1$ $m_\pi = 0.5$ GeV PRD86:074514(2012)

実験値との定量的・定性的違いを理解する

本研究の目的: 現実よりも大きなクォーク質量起因の系統誤差を見積もる

これまでの研究をさらに信頼性のある計算へ発展させる

$N_f = 2 + 1$ QCD, さらに軽いクォーク

3. 中間報告

TY *et al.* PoS(LATTICE 2013):230(2013)[arXiv:1310.5797]

$N_f = 2 + 1$ QCD

Iwasakiゲージ作用 + 非摂動論的 $O(a)$ 改良 Wilson フェルミオン作用

$a^{-1} = 2.194$ GeV with $m_\Omega = 1.6725$ GeV ($\beta = 1.90$) '10 PACS-CS

$m_\pi = 0.3$ GeV and $m_N = 1.06$ GeV

$m_s \sim$ 現実の s クォーク質量

二つの体積を用いた ΔE 有限体積依存性 (^4He , ^3He , 二核子)

		$m_\pi = 0.3$ GeV		$m_\pi = 0.5$ GeV	
L	L [fm]	N_{conf}	N_{meas}	N_{conf}	N_{meas}
48	4.3	380	576	200	192
64	5.8	160	384	190	256

$$L = 48 \text{ の測定数比較: } \frac{N_{\text{conf}} \times N_{\text{meas}}(0.3\text{GeV})}{N_{\text{conf}} \times N_{\text{meas}}(0.5\text{GeV})} \approx 6$$

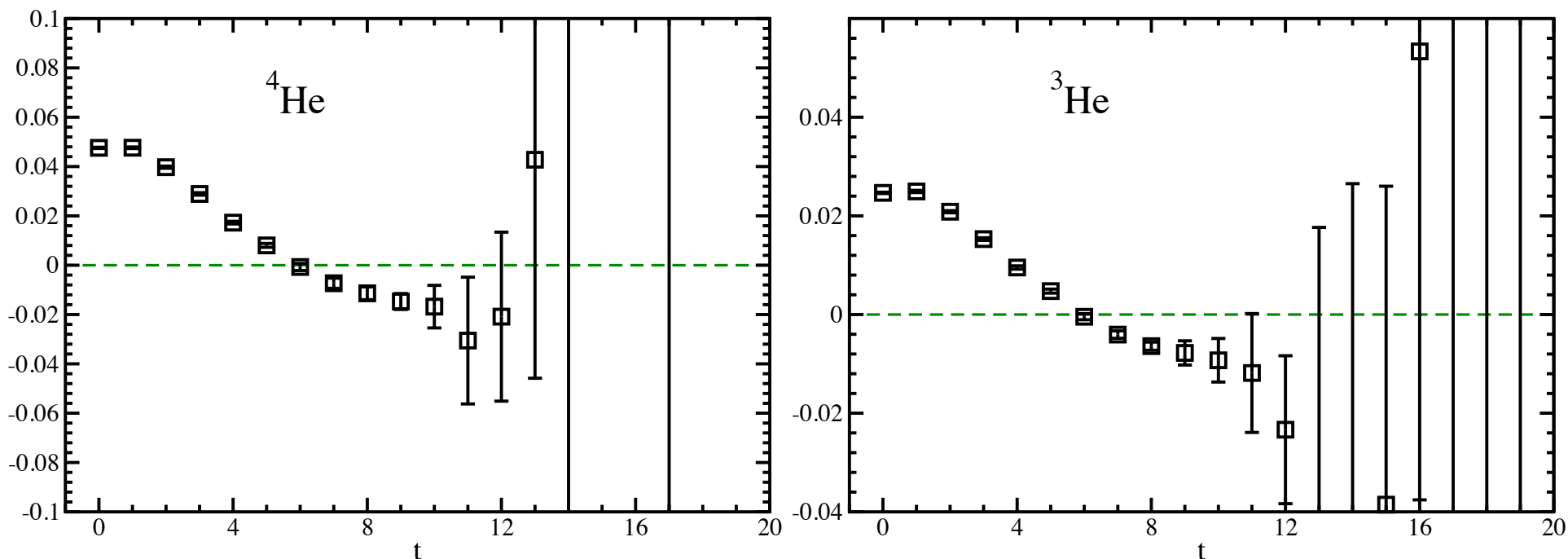
利用計算資源:

PACS-CS, T2K-Tsukuba, HA-PACS at 筑波大, HA8000 at 東大, 「京」 at 理研 AICS

4. $N_f = 2 + 1$ $m_\pi = 0.3$ GeV $L = 48$ 中間報告

TY *et al.* PoS(LATTICE 2013):230(2013)[arXiv:1310.5797]

有効エネルギー差: $\Delta E_{4\text{He}}(t) = \log \left(\frac{C_{4\text{He}}(t)}{C_{4\text{He}}(t+1)} \right)$

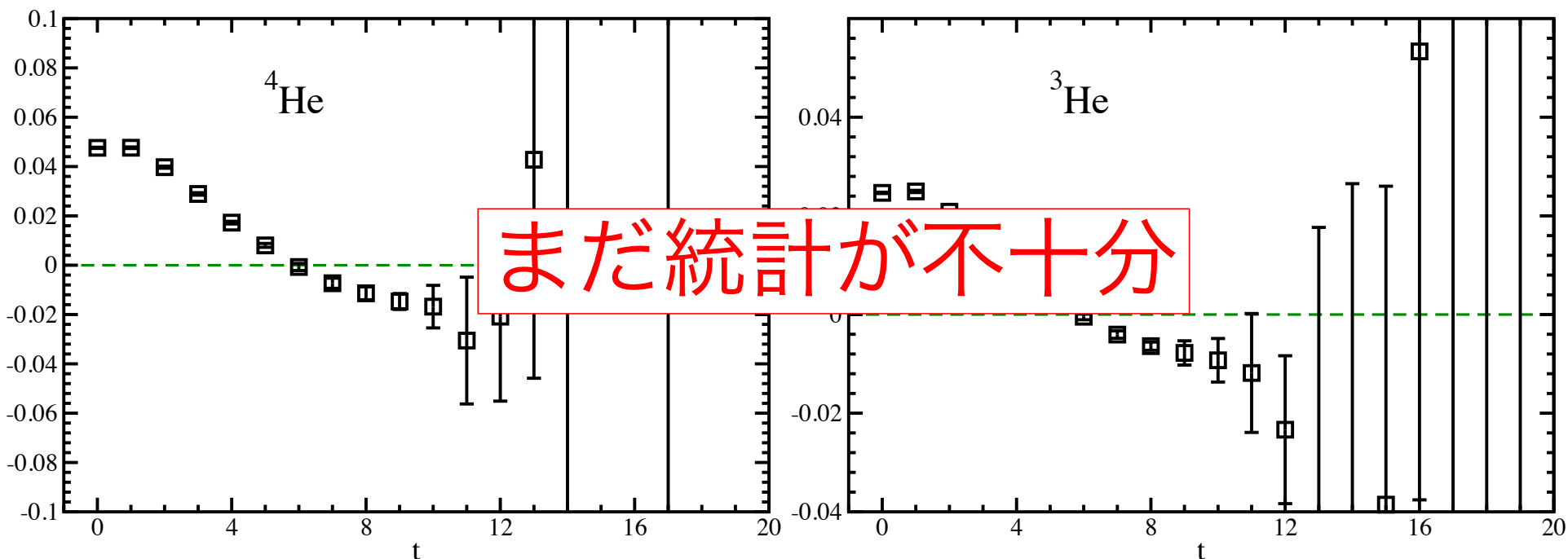


誤差が $m_\pi = 0.5$ GeV より大きい

4. $N_f = 2 + 1$ $m_\pi = 0.3$ GeV $L = 48$ 中間報告

TY *et al.* PoS(LATTICE 2013):230(2013)[arXiv:1310.5797]

有効エネルギー差: $\Delta E_{4\text{He}}(t) = \log \left(\frac{C_{4\text{He}}(t)}{C_{4\text{He}}(t+1)} \right)$

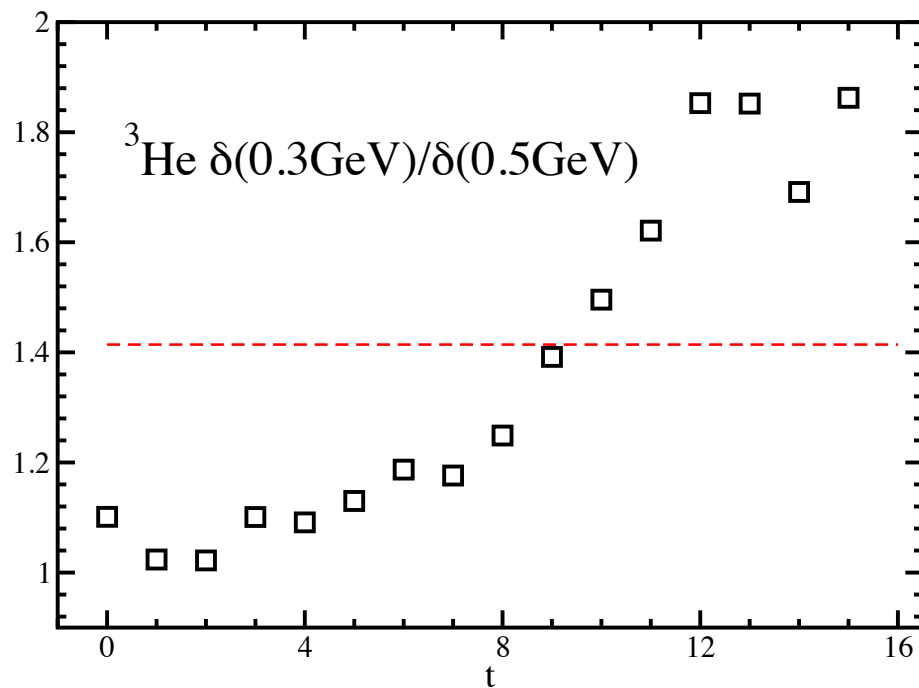
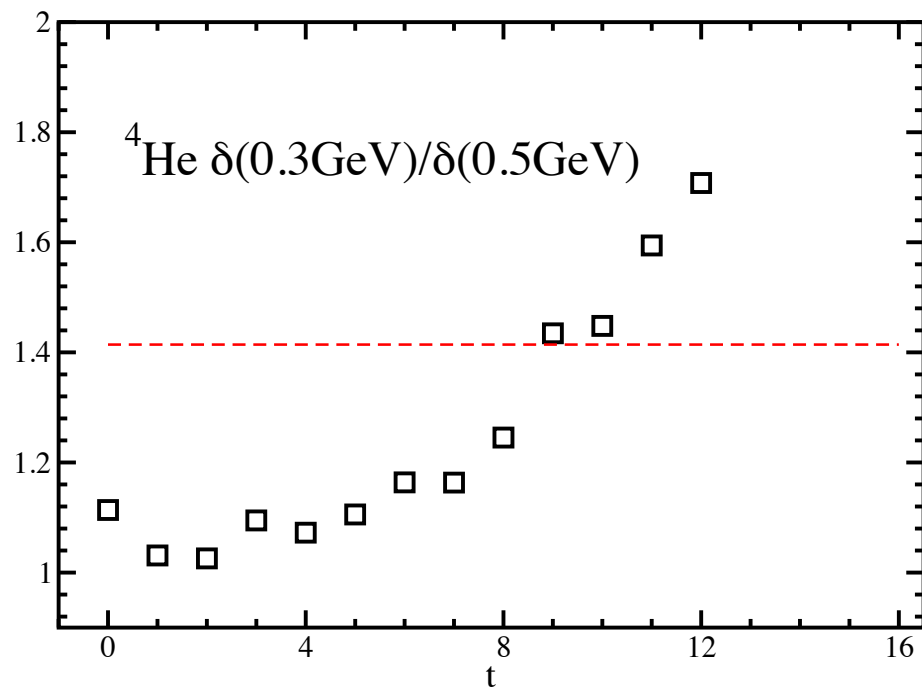


誤差が $m_\pi = 0.5$ GeV より大きい

4. $N_f = 2 + 1$ $m_\pi = 0.3$ GeV $L = 48$ 中間報告

TY *et al.* PoS(LATTICE 2013):230(2013)[arXiv:1310.5797]

$m_\pi = 0.3$ と 0.5 GeV の相対誤差比較: $\delta_{4\text{He}}(t) = \frac{\delta C_{4\text{He}}(t)}{C_{4\text{He}}(t)}$



$t = 8-12$ の相対誤差比 ≈ 1.4

$\rightarrow m_\pi = 0.5$ GeV と同程度の誤差を得るためには2倍統計が必要

$$\frac{N_{\text{conf}} \times N_{\text{meas}}(0.3\text{GeV})}{N_{\text{conf}} \times N_{\text{meas}}(0.5\text{GeV})} \approx 6(\text{現状}) \rightarrow \approx 12: \text{現在の計算機資源で実行可能}$$

5. まとめ

昨年度: $N_f = 2 + 1$ $m_\pi = 0.5$ GeV の計算を実行

無限体積極限で $\Delta E \neq 0$

→ ${}^4\text{He}$, ${}^3\text{He}$, ${}^3\text{S}_1$, ${}^1\text{S}_0$ に束縛状態 (原子核)

今年度: これまでよりも系統誤差の小さな $N_f = 2 + 1$ 計算を実行

- 実験値との定量的・定性的違いを理解する
- これまでよりも軽いクォーク $m_\pi = 0.3$ GeV

統計誤差がまだ大きい → $L = 48$ は統計 (測定数) を 2 倍にする予定

将来計画

来年度: $m_\pi = 0.3$ GeV を終了させる

京を使った現実的クォーク質量 $m_\pi = 0.135$ GeV の計算を実行

クォーク質量について系統誤差の無い計算 → 実験値を再現 or その他の系統誤差